

**В.Б. УСПЕНСКИЙ**, канд. техн. наук, НТУ «ХПИ»;  
**М.В. НЕКРАСОВА**, ст. преп., НТУ «ХПИ»

## **ИЗМЕРЕНИЕ УСКОРЕНИЯ И УГЛОВОЙ СКОРОСТИ ТВЕРДОГО ТЕЛА С ПОМОЩЬЮ ИЗБЫТОЧНОЙ СИСТЕМЫ АКСЕЛЕРОМЕТРОВ**

Пропонуються метод і алгоритми визначення компонент векторів кутової швидкості й прискорення центру мас рухомого об'єкту, заснованих на використанні тільки датчиків прискорення, розташованих в заданих точках рухомого об'єкту, без використання гіроскопів. Показано, що для цього достатньо використовувати дев'ять акселерометрів, орієнтованих певним чином в обраних точках.

The method and algorithms for determining angular velocity vector and acceleration of center of mass of a moving object, based on using only acceleration sensors located at specified points of a moving object without the use of gyroscopes is proposed. It is sufficient to use nine accelerometers oriented in some way in selected locations.

Предлагаются метод и алгоритмы определения компонент векторов угловой скорости и ускорения центра масс подвижного объекта, основанные на использовании только датчиков ускорения, расположенных в заданных точках подвижного объекта, без использования гироскопов. Показано, что для этого достаточно использовать девять акселерометров, ориентированных определенным образом в выбранных точках.

**Введение.** В настоящее время для измерения параметров движения используются, как правило, гироскопы и акселерометры. Различные схемы таких измерителей приведены в [1]. В связи с развитием МЭМС-технологии стоимость инерциальных измерителей и, в частности, акселерометров, становится малой. Это открывает возможность построения избыточных и сильно избыточных систем акселерометров (АК). До настоящего времени вопросы эффективного использования таких систем еще не изучены. В данной статье исследуется возможность использования сильно избыточных систем АК для измерения как ускорения, так и вектора угловой скорости. Такой подход позволит создавать полные инерциальные модули, построенные на основе АК, сравнительно невысокой стоимости.

**Постановка задачи.** В данной статье рассматривается задача компоновки в твердом теле избыточной (более 3) системы акселерометров и определения угловой скорости и ускорения по их измерениям.

**Математическая модель измерений.** Рассмотрим акселерометр, расположенный в некоторой фиксированной точке подвижного объекта. Построим математическую модель его измерений.

Пусть  $\xi\eta\zeta$  – некоторая инерциальная система координат (ИСК),  $xuyz$  – система координат, связанная с инерциальным базисом (ИБ, ССК), с центром

в произвольно заданной точке  $O$ , далее называемой базовой, и задаваемой радиус-вектором  $\bar{r}$ . ССК вращается в инерциальном пространстве с абсолютной угловой скоростью  $\bar{\omega} = (\omega_x, \omega_y, \omega_z)$  в проекциях на оси ССК.

Расположение акселерометра в ССК (точка  $A$ ) задается радиус-вектором  $\bar{\rho}$ . Направление оси чувствительности определяется в ССК единичным вектором  $\bar{e}$  (рис. 1).

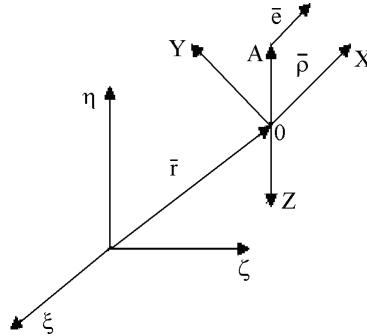


Рисунок 1 – Единичный вектор  $\bar{e}$

Будем считать, что акселерометр измеряет не кажущееся, а абсолютное ускорение точки своей дислокации, то есть

$$\bar{w}_A = \frac{d^2\bar{r}}{dt^2} + \frac{d^2\bar{\rho}}{dt^2} = \bar{w}_O + \frac{d^2\bar{\rho}}{dt^2}, \quad (1)$$

где  $\bar{w}_O$  – абсолютное ускорение точки  $O$  (ускорение переносного движения ССК),  $\frac{d^2\bar{\rho}}{dt^2}$  – ускорение точки  $A$  относительно ССК. Дифференцирование осуществляется в ИСК. Переходя во втором слагаемом от полной производной к локальной, то есть к производной, относительно вращающейся ССК, в общем случае имеем [2]:

$$\frac{d^2\bar{\rho}}{dt^2} = \frac{\tilde{d}\bar{v}}{dt} + 2 \cdot [\bar{\omega} \times \bar{v}] + \left[ \frac{\tilde{d}\bar{\omega}}{dt} \times \bar{\rho} \right] + [\bar{\omega} \times [\bar{\omega} \times \bar{\rho}]], \quad (2)$$

где  $\frac{\tilde{d}}{dt}$  – знак локального дифференцирования,  $\bar{v}$  – относительная скорость точки  $A$  в ССК.

Выражение (2) упрощается, если точка  $A$  неподвижна в ССК, так как в этом случае

$$\bar{v} = 0; \quad \frac{\tilde{d}\bar{v}}{dt} = 0. \quad (3)$$

Таким образом, из (1) с учетом (2) и (3) можно получить векторное ра-

$$\bar{w}_A = \bar{w}_O + \left[ \frac{d\bar{\omega}}{dt} \times \bar{\rho} \right] + \bar{\omega} \cdot (\bar{\omega}, \bar{\rho}) - \bar{\rho} \cdot \omega^2, \quad (4)$$

связывающие абсолютные ускорения точек А и О. При этом акселерометр, расположенный в точке А, измеряет проекцию  $\bar{w}_A$  на свою ось чувствительности, то есть величину  $A = (\bar{w}_A, \bar{e})$ .

Далее, пусть имеется  $n$  акселерометров с осями чувствительности  $\bar{e}_1, \bar{e}_2, \dots, \bar{e}_n$ , расположение которых в ССК задается соответственно векторами  $\bar{\rho}_1, \bar{\rho}_2, \dots, \bar{\rho}_n$ . Здесь и в дальнейшем все векторные величины определяются в проекциях на оси ССК. В этом случае показания акселерометров соответствуют следующим выражениям:

$$A_i = (\bar{w}_O, \bar{e}_i) + \left( \left[ \frac{d\bar{\omega}}{dt} \times \bar{\rho}_i \right], \bar{e}_i \right) + (\bar{\omega}, \bar{e}_i) \cdot (\bar{\omega}, \bar{\rho}_i) - (\bar{\rho}_i, \bar{e}_i) \cdot \omega^2, \quad i = \overline{1, n}. \quad (5)$$

Если вектор  $\bar{e}_i$  коллинеарен вектору  $\bar{\rho}_i$ , то (5) существенно упрощается, так как  $\left( \left[ \frac{d\bar{\omega}}{dt} \times \bar{\rho}_i \right], \bar{e}_i \right) = 0$ , и выражение (5) примет вид:

$$A_i = (\bar{w}_O, \bar{e}_i) + (\bar{\omega}, \bar{e}_i) \cdot (\bar{\omega}, \bar{\rho}_i) - (\bar{\rho}_i, \bar{e}_i) \cdot \omega^2. \quad (6)$$

Таким образом, в общем случае измерения акселерометров содержат информацию как об ускорении базовой точки, так и об угловой скорости и угловом ускорении ССК. При выборе базовой точки О на продолжении осей чувствительности (ОЧ) АК, что возможно при пересечении ОЧ всех АК в одной точке, их измерения становятся инвариантными к угловому ускорению.

В этих условиях сформулируем задачу: разработать структуру измерительного акселерометрического модуля и алгоритм определения ускорения и угловой скорости ССК на основании измерений модуля.

Для решения поставленной задачи в общем случае необходимо решить систему уравнений (5), составленную для  $i$  акселерометров, где  $i = \overline{1, n} \geq 9$ , относительно  $\bar{w}_O = (w_{Ox}, w_{Oy}, w_{Oz})$ ;  $\bar{\omega} = (\omega_x, \omega_y, \omega_z)$ ;  $\dot{\bar{\omega}} = (\dot{\omega}_x, \dot{\omega}_y, \dot{\omega}_z)$ .

Учитывая нелинейный характер уравнений (5), не удалось подобрать достаточно эффективный в общем случае численный метод решения такой системы. Кроме того, способ определения искомых характеристик движения должен составлять основу алгоритма, функционирующего в реальном масштабе времени, что накладывает существенные ограничения на его вычислительную сложность. В этих условиях реализован следующий подход: путем задания рациональной конфигурации АК максимально упростить систему уравнений и, соответственно, алгоритм ее решения.

Воспользуемся описанным ранее свойством инвариантности к угловому

ускорению некоторых структур АК. Пусть для шести АК  $\vec{e}_1 = (1,0,0)$ ;  $\vec{e}_2 = (0,1,0)$ ;  $\vec{e}_3 = (0,0,1)$ ;  $\vec{e}_4 = (-1,0,0)$ ;  $\vec{e}_5 = (0,-1,0)$ ;  $\vec{e}_6 = (0,0,-1)$  и  $\vec{\rho}_i = \mu_i \cdot \vec{e}_i$ , где  $\mu_i$  – удаленность  $i$ -го акселерометра от точки  $O$  (рис. 2).

В этом случае система уравнений (5) принимает вид

$$\begin{cases} w_{0x} - \mu_1 \omega_y^2 - \mu_1 \omega_z^2 = A_1; \\ w_{0y} - \mu_2 \omega_x^2 - \mu_2 \omega_z^2 = A_2; \\ w_{0z} - \mu_3 \omega_x^2 - \mu_3 \omega_y^2 = A_3; \\ w_{0x} - \mu_4 \omega_y^2 - \mu_4 \omega_z^2 = -A_4; \\ w_{0y} - \mu_5 \omega_z^2 - \mu_5 \omega_x^2 = -A_5; \\ w_{0z} - \mu_6 \omega_x^2 - \mu_6 \omega_y^2 = -A_6. \end{cases}$$

Решая эту систему уравнений аналитически, получим

$$\begin{cases} w_{0x} = \frac{\mu_4 \cdot A_1 - \mu_1 \cdot A_4}{\mu_1 + \mu_4} \\ w_{0y} = \frac{\mu_5 \cdot A_2 - \mu_2 \cdot A_5}{\mu_2 + \mu_5} \\ w_{0z} = \frac{\mu_6 \cdot A_3 - \mu_3 \cdot A_6}{\mu_3 + \mu_6} \\ \omega_x^2 = \frac{A_1 + A_4}{2 \cdot (\mu_1 + \mu_4)} - \frac{A_2 + A_5}{2 \cdot (\mu_2 + \mu_5)} - \frac{A_3 + A_6}{2 \cdot (\mu_3 + \mu_6)} \\ \omega_y^2 = \frac{A_2 + A_5}{2 \cdot (\mu_2 + \mu_5)} - \frac{A_1 + A_4}{2 \cdot (\mu_1 + \mu_4)} - \frac{A_3 + A_6}{2 \cdot (\mu_3 + \mu_6)} \\ \omega_z^2 = \frac{A_3 + A_6}{2 \cdot (\mu_3 + \mu_6)} - \frac{A_2 + A_5}{2 \cdot (\mu_2 + \mu_5)} - \frac{A_1 + A_4}{2 \cdot (\mu_1 + \mu_4)} \end{cases} \quad (7)$$

Из полученного решения следует, что компоненты вектора угловой скорости  $\vec{\omega} = (\omega_x, \omega_y, \omega_z)$  могут быть определены по измерениям АК, организованным в данную структуру, с точностью до знака. Для разрешения знаковой неопределенности предлагается использовать прогнозирующую модель вектора угловой скорости вида

$$\vec{\omega}_{k+1} = \vec{\omega}_k + 0,5 \cdot (\dot{\vec{\omega}}_k + \dot{\vec{\omega}}_{k+1}^{\pm}) \cdot \Delta t, \quad (8)$$

в которой  $k$  – номер предыдущего такта обновления информации продолжительности  $\Delta t$ ;  $\vec{\omega}_k$ ,  $\dot{\vec{\omega}}_k$  – значения угловой скорости и углового ускорения, определенные для предыдущего момента времени,  $\dot{\vec{\omega}}_{k+1}^{\pm}$  – оценка углового ускорения, полученная для текущего момента времени.

Для получения оценки  $\dot{\vec{\omega}}_{k+1}^{\pm}$  используются измерения от трех дополни-

тельных АК, расположение которых задается параметрами  $\vec{e}_7 = (0,1,0)$ ,  $\vec{e}_8 = (0,0,1)$ ,  $\vec{e}_9 = (1,0,0)$ ;  $\vec{\rho}_7 = (\mu_7, 0, 0)$ ,  $\vec{\rho}_8 = (0, \mu_8, 0)$ ,  $\vec{\rho}_9 = (0, 0, \mu_9)$  (рис. 3):

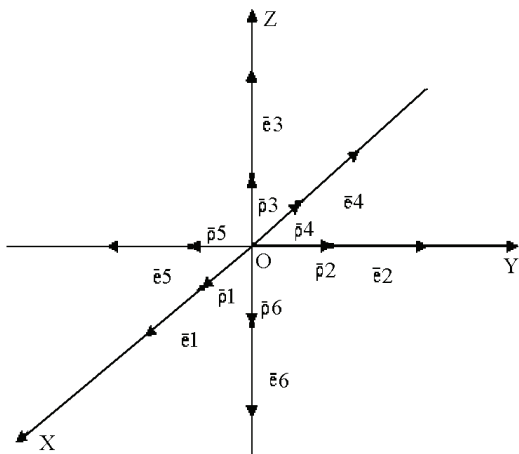


Рисунок 2 – Параметры  $\vec{e}_1 - \vec{e}_6$

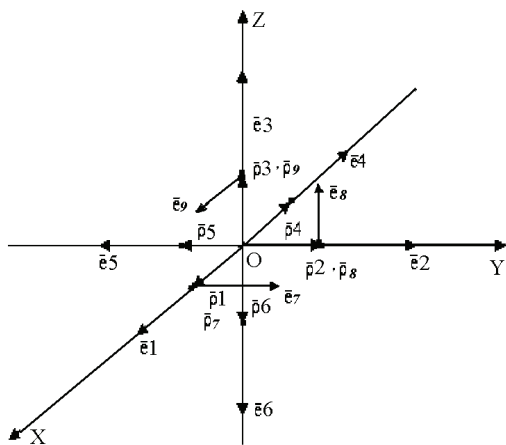


Рисунок 3 – Параметры  $\vec{e}_7 - \vec{e}_9$ ;  $\vec{\rho}_7 - \vec{\rho}_9$

При этом

$$\dot{\omega}_x^\pm = \frac{1}{\mu_8} \cdot (A_8 - w_{oz} - \mu_8 \cdot \omega_y^\pm \cdot \omega_z^\pm);$$

$$\dot{\omega}_y^\pm = \frac{1}{\mu_9} \cdot (A_9 - w_{ox} - \mu_9 \cdot \omega_x^\pm \cdot \omega_z^\pm);$$

$$\dot{\omega}_z^{\pm} = \frac{1}{\mu_7} \cdot (A_7 - w_{oy} - \mu_7 \cdot \omega_x^{\pm} \cdot \omega_y^{\pm}).$$

Запись  $\omega_{x,y,z}^{\pm}$  означает, что значения проекций угловой скорости вычисляются из (7) либо со знаком «плюс», либо со знаком «минус». При этом вектор  $\vec{\omega}_{k+1}^{\pm}$  формируется из указанных компонент во всевозможных сочетаниях знаков. Таким образом, учитывая возможную двузначность  $\omega_x, \omega_y, \omega_z$ , имеем восемь наборов значений вектора  $\vec{\omega}_{k+1}^{\pm}$  и восемь значений спрогнозированной угловой скорости  $\vec{\Omega}_{k+1}$ . Сравнивая прогнозируемое значение скорости  $\vec{\Omega}_{k+1}$  с измеренным вектором, составленным из соответствующих компонент  $\omega_x^{\pm}, \omega_y^{\pm}, \omega_z^{\pm}$  по критерию минимальной длины вектора разности, принимается решение о действительном значении векторов углового ускорения и угловой скорости, используемых в (8) в последующий момент времени вместо  $\vec{\omega}_k, \vec{\Omega}_k$ . Начальное значение ускорения и угловой скорости считаются известными.

Результаты, полученные на основе изложенного алгоритма, приведены на рис. 4–7 и соответствуют следующим условиям: продолжительность моделирования – 100 с, такт обновления информации – 0,01 с. Истинная угловая скорость генерируется на основании решения динамических уравнений Эйлера при значении момента внешних сил  $\vec{M} = (0,005, 0,005, 0,002) \text{ Н} \cdot \text{м}$  и главных центральных моментах инерции  $I_1 = 0,48 \text{ кг} \cdot \text{м}^2$ ;  $I_2 = 1,2 \text{ кг} \cdot \text{м}^2$ ;  $I_3 = 1,32 \text{ кг} \cdot \text{м}^2$  (рис. 4), а проекции истинного ускорения меняются, как на рис. 5.

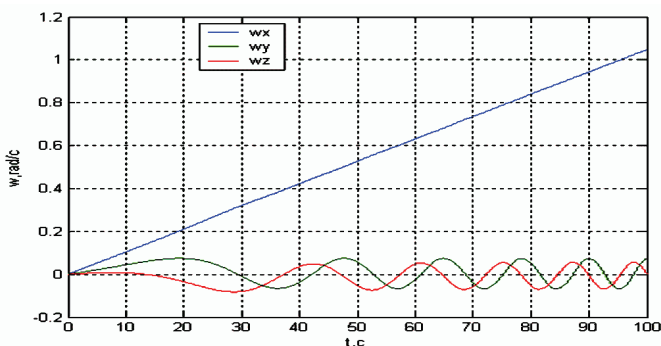


Рисунок 4 – Истинные значения проекций угловой скорости

Малая величина ошибок (рис. 6, 7) свидетельствуют о принципиальной возможности определения вектора абсолютного ускорения базовой точки и вектора угловой скорости ССК по измерениям 9 акселерометров, располо-

женных указанных выше образом. Алгоритм такого определения не содержит итераций и вполне реализуем в реальном масштабе времени.

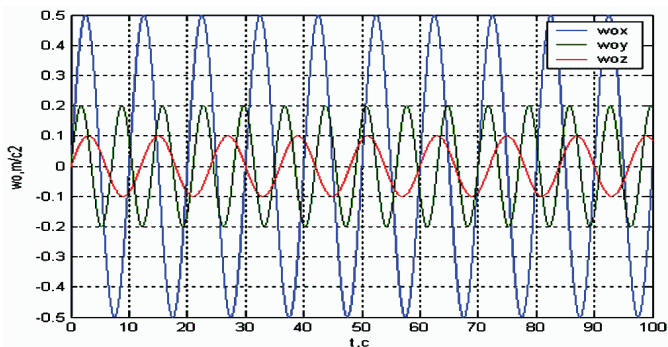


Рисунок 5 – Истинные значения проекций ускорения

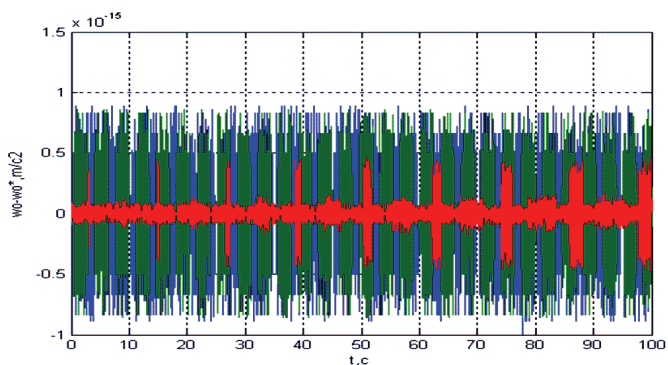


Рисунок 6 – Разность между истинным ускорением и ускорением, полученными на основе измерений

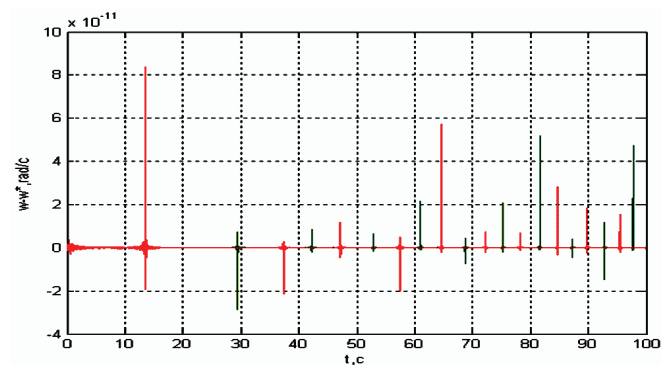


Рисунок 7 – Разность между истинной и полученной по измерениям угловой скоростью

**Заключение.** Разработана схема компоновки 9 акселерометров в твердом теле, по измерениям которых синтезирован алгоритм определения вектора ускорения и вектора угловой скорости твердого тела. В дальнейшем планируется исследовать область применимости разработанного метода определения характеристик движения по измерениям АК, построить модель ошибок и получить точностные характеристики измерительного акселерометрического модуля с учетом типичных ошибок АК и их сборки.

**Список литературы:** 1. *Анучин О.Н.* Интегрированные системы ориентации для морских подвижных объектов / *О.Н. Анучин, Г.И. Емельянцев.* – СПб., 1999. – 357 с. 2. *Бромберг П.В.* Теория инерциальных систем навигации / *П.В. Бромберг.* – М.: Наука, 1979. – 294 с.

*Поступила в редколлегию 20.10.2011.*